

## КРАТКИЕ СООБЩЕНИЯ

УДК 553.982

Ю.А. Петриченко

### ГЕОХИМИЧЕСКАЯ ХАРАКТЕРИСТИКА ОРГАНИЧЕСКОГО ВЕЩЕСТВА МАЙКОПСКОЙ СЕРИИ КЕРЧЕНСКО-ТАМАНСКОГО ПРОГИБА

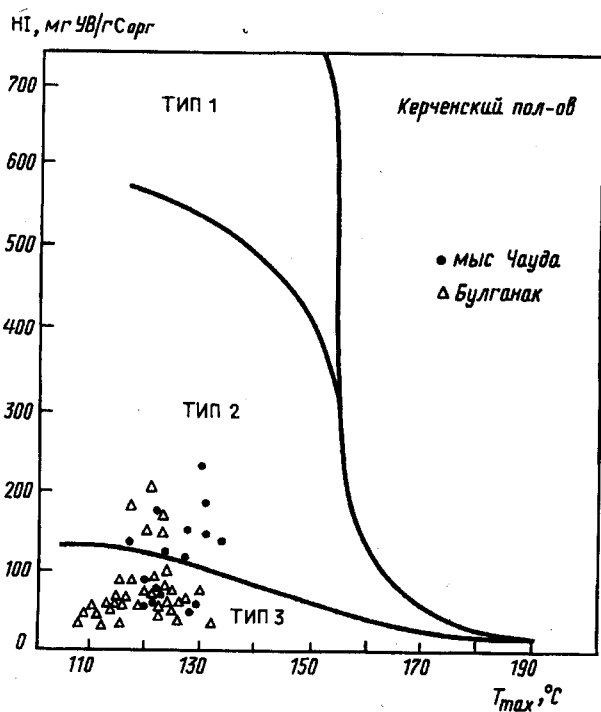


Рис. 1. Типы органического вещества

Объект исследования — майкопская серия Керченско-Таманского прогиба. Этот район представляет собой западную часть Азово-Кубанского нефтегазоносного бассейна, в котором майкопская серия рассматривается как основная нефтегазоматеринская свита в кайнозойском разрезе. В Керченско-Таманском прогибе открыто 15 месторождений нефти и газа, из них только 4 месторождения связаны с майкопскими породами, остальные — с неогеновыми. Все месторождения малодебитны, их геологические запасы невелики и составляют менее 5 млн т (в нефтяном эквиваленте) в каждом. Расхождения между открытыми запасами и потенциалом преимущественно глинистой нефтегазоматеринской толщи, очевидно, связаны с фациальными условиями формирования исходного органического вещества (ОВ) и условиями реализации нефтегазоматеринского потенциала.

Керченско-Таманский поперечный прогиб — впадина, наложенная на мегантиклиниории Крыма и

Кавказа. Он выполнен отложениями олигоцена и неогена мощностью до 6 км; район характеризуется диапировым строением антиклинальных складок и связанным с ним грязевым вулканализмом. Майкопская серия разделяется на три отдела: нижний (нижний—средний олигоцен), средний (верхний олигоцен), верхний (нижний миоцен). Литологический состав — доминирующие песчанистые и алевритистые глины с прослоями песков и алевритов, с большим количеством углистого дегрита. Накопление осадков протекало в глубоководном морском бассейне, периодически испытывавшем значительное обмеление при значительном участии терригенного сноса. В наиболее глубоких впадинах осаждались тонкоотмученные глины, отмечаются следы сероводородного заражения наддонных вод.

Изученная часть разреза майкопской серии в пределах Керченского п-ва соответствует среднему и верхнему майкопу, а на Таманском п-ве — всей майкопской серии. Образцы пород отобраны из обнажений Керченского и глубоких скважин Таманского районов.

Геохимические исследования включали определения содержания органического углерода ( $C_{опр}$ ), экстракцию битумоидов, газожидкостную хроматографию, хромато-масс-спектрометрию, пиролиз Rock-Eval. Петрографические исследования ОВ Керченского п-ва проведены М.Л. Сен-Жермес [2].

Петрографический состав ОВ майкопских отложений характеризуется высокой насыщенностью палиноморфами. В органомацерате аморфное бесструктурное ОВ — продукт полного разложения исходного органического материала (водоросли, остатки высших растений) — составляет не более 10–30%, причем его больше в низах олигоценовой части разреза. Органостенный фитопланктон (10–30%) представлен цистами динофлагеллят, акритарх и доминирующими остатками зеленых водорослей. Аллохтонная часть мацерата (до 40%) сложена спорами и пыльцой (преобладают хвойные) и витринизированными обрывками растительных тканей; в миоценовой части разреза появляется инертинит. Подобный состав свидетельствует о существенной роли высшей наземной растительности в формировании ОВ майкопской серии, которое протекало в обстановке сероводородного заражения вод, так как ОВ

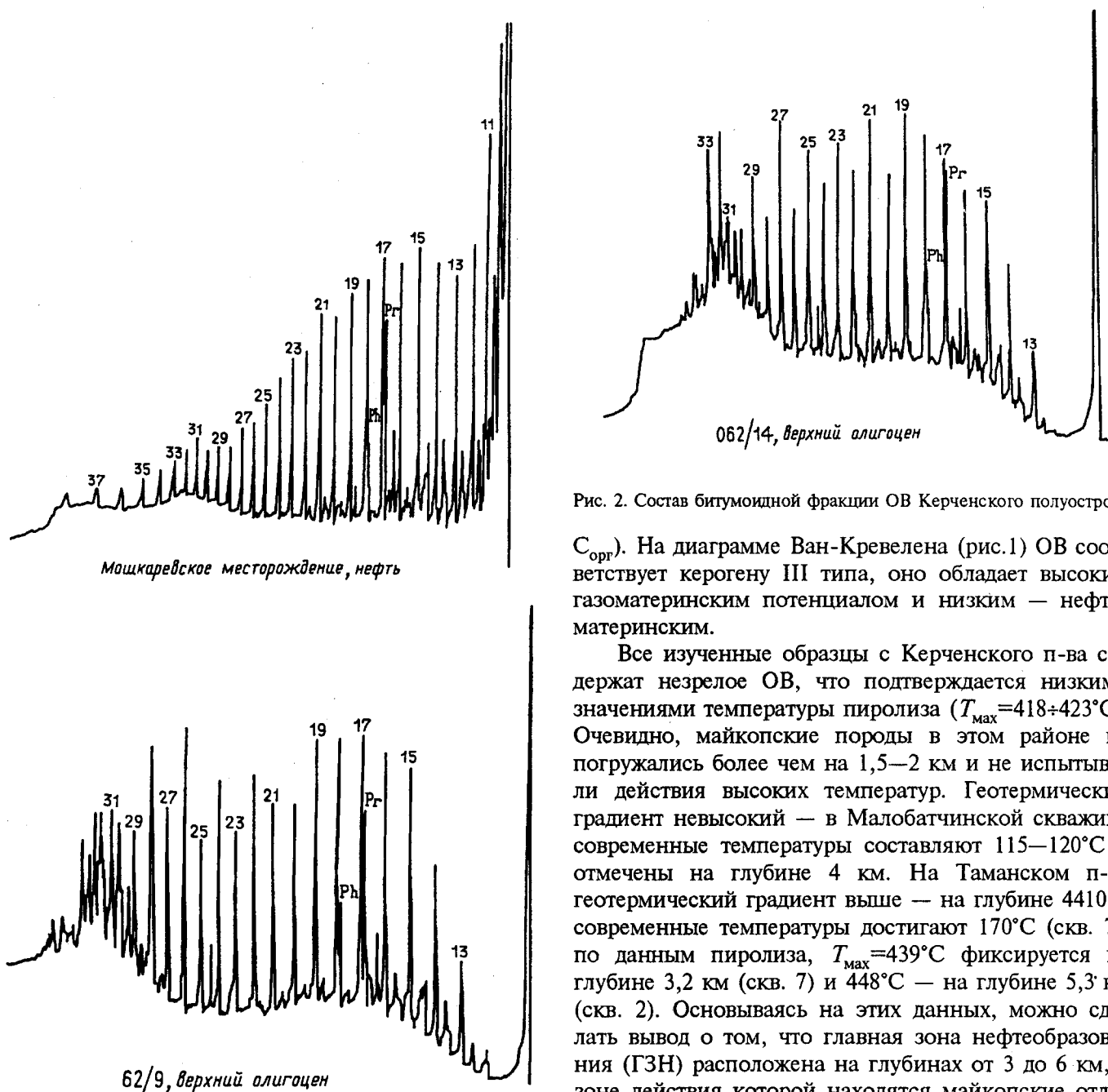


Рис. 2. Состав битумоидной фракции ОВ Керченского полуострова

$C_{opr}$ ). На диаграмме Ван-Кревелена (рис.1) ОВ соответствует керогену III типа, оно обладает высоким газоматеринским потенциалом и низким — нефтематеринским.

Все изученные образцы с Керченского п-ва содержат незрелое ОВ, что подтверждается низкими значениями температуры пиролиза ( $T_{max}=418\text{--}423^{\circ}\text{C}$ ). Очевидно, майкопские породы в этом районе не погружались более чем на 1,5–2 км и не испытывали действия высоких температур. Геотермический градиент невысокий — в Малобатчинской скважине современные температуры составляют 115–120°C и отмечены на глубине 4 км. На Таманском п-ве геотермический градиент выше — на глубине 4410 м современные температуры достигают 170°C (скв. 7); по данным пиролиза,  $T_{max}=439^{\circ}\text{C}$  фиксируется на глубине 3,2 км (скв. 7) и 448°C — на глубине 5,3 км (скв. 2). Основываясь на этих данных, можно сделать вывод о том, что главная зона нефтеобразования (ГЗН) расположена на глубинах от 3 до 6 км, в зоне действия которой находятся майкопские отложения.

Хроматографический анализ битумоидной фракции ОВ показал, что нормальные алканы ( $n$ -алканы) представлены длинноцепочечными ( $C_{12}\text{--}C_{31}$ ) с максимумом на  $C_{17}\text{--}C_{21}$  и  $C_{25}\text{--}C_{31}$ ; в области высокомолекулярных алканов отмечается высокий “горб” (нафтеновые УВ); среди изопреноидных УВ преобладают пристан ( $iC_{19}$ ) и фитан ( $iC_{20}$ ), а их отношение  $iC_{19}/iC_{20}$  изменяется от 0,7 до 4. На рис. 2 показаны хроматограммы некоторых образцов Керченского п-ва. Их сходство достаточно велико, что отражается в геохимических параметрах и пересчетных коэффициентах (таблица).

В образцах, характеризующихся низким нафтеновым фоном и отношении  $iC_{19}/iC_{20}=2$ , присутствуют  $n$ -алканы с длиной цепи от  $C_{12}$  до  $C_{32}$ . При

сильно пиритизировано, размеры фрамбоидов пирита (< 7 мкм) характерны для пирита, образовавшегося в столбе воды [3]. Развивающаяся анаэробия фотического слоя подтверждается и присутствием крупных празинофитов, резко преобладающих в фитопланктонном материале [1].

Отложения майкопской серии характеризуются не очень высоким содержанием  $C_{opr}=0,3\text{--}7\%$ , модальное значение 0,7%. Значение нефтяного потенциала составляет  $(S_1+S_2)=0,2\text{--}19$  кг УВ/т породы, его максимальные величины установлены в нижнемайкопских породах в скважине Тамань-5. Но даже в обогащенных  $C_{opr}$  прослоях пород значения водородного индекса ( $HI=S_2/C_{opr}\cdot 100\%$ ), характеризующего тип ОВ, невысокие (максимум 212 мг УВ/т

Характеристика *n*-алканов

Номер образца	$C_{\max}$	$iC_{19}/iC_{20}$	$iC_{19}/nC_{17}$	$iC_{20}/nC_{18}$	$K_i^*$
0640/4	$nC_{29}$	0,37	0,4	1,7	0,92
062/9	$nC_{19}-nC_{21}$	2,0	0,98	0,4	0,7
062/14	$nC_{17-19}$ $nC_{28}$	2,0	0,7	0,4	0,54
064/1a	$nC_{30}$	0,77	0,2	0,4	0,4
064/1	$nC_{25}$	4,0	6,0	2,0	4,5
064/6	$nC_{27}$	1,2	2,6	1,2	1,6
065/1	$nC_{27}$	1,1	1,3	1,0	1,2
065/26	$nC_{27}$	0,6	0,98	1,0	1,0
067/5	$nC_{31}$	0,4	0,5	0,8	0,8
067/12	$nC_{31}, nC_{29}$	1,0	0,4	0,4	0,5

$$K_i = (iC_{19} + iC_{20}) / (nC_{17} + nC_{18})$$

почти полном тождестве хроматограмм они отличаются по коэффициенту нечетности *n*-алканов ( $K_{nq}$ =нечетные/четные) в высокомолекулярной области. В образце 062/9 преобладают нечетные *n*-алканы, в то время как в образце 062/14 — четные. Оба образца характеризуются равным содержанием  $C_{opr}$  (1,4%) и одинаковым битумоидным коэффициентом ( $\beta^{XB} = 4,5\%$ ). Очевидно, что при одном типе исходного ОВ пути трансформации его в УВ были различны — нечетные алканы образовались в результате декарбоксилирования четных жирных кислот, в то время как генерация четных алканов про текала иным путем.

Для основной массы битумоидов характерно увеличение коэффициента нечетности в высокомолекулярной области ( $K_{nq}=2 \div 3$ ), в основном за счет увеличения содержания УВ  $C_{31}$  и  $C_{29}$ ; повышенное содержание  $C_{31}$  отмечается в верхней части разреза. Экспериментально показано, что высокие концентрации  $C_{31}$  приурочены к листьям, а  $C_{29}$  — к коре

## СПИСОК ЛИТЕРАТУРЫ

- Ахметьев М.А., Запорожец Н.И. Ископаемые микроорганизмы как основа стратиграфии корреляции и палеобиографии фанерозоя // Тр. ГИН РАН. Т. 501. С. 55—69.
- Saint-Germe M.L. Etude sedimentologique et geo chimique de la matere organique du bassin maykopen (oligo-

выших растений (устное сообщение О.А. Арефьева). Роль этого органического материала, сложенного целлюлозой и лигнином, в формировании исходного ОВ, очевидно, была высока.

Хроматограммы нефтей, находящихся в майкопских отложениях (Мошкаревское нефтяное месторождение, скважина Тамань-7), показывают их большое сходство между собой: концентрация низкомолекулярных УВ выше, чем в ОВ, но присутствуют и высокомолекулярные УВ (длина цепи  $C_{11}-C_{38}$ ),  $iC_{19}/iC_{20}=2,2$ ;  $iC_{19}/nC_{17}=0,23 \div 0,5$ ,  $iC_{20}/nC_{18}=0,09 \div 0,4$ .

Нефть из Мошкаревского месторождения имеет стерановое распределение  $C_{27}:C_{28}:C_{29} = 27:29:44$ . Высокие концентрации стерана  $C_{29}$  в нефтях объясняются значительной примесью континентального органического материала в исходном ОВ.

Нефть и битумоиды майкопских отложений имеют много общих черт (сходные коэффициенты, высокое содержание *n*-алканов  $C_{31}$  и  $C_{27}$ , одинаковое распределение стеранов), это позволяет утверждать, что ОВ в майкопских породах Керченско-Таманского прогиба относится к керогену III типа и является источником для этих нефтей. Однако нефтематеринский потенциал такого ОВ незначителен ( $HI < 150 \div 200$  мг УВ/г  $C_{opr}$ ), что связано с невысоким содержанием в нем липидных компонентов, но это ОВ обладает высоким газоматеринским потенциалом. Очевидно, это является главной причиной низкой нефтеносности майкопских отложений Керченско-Таманского прогиба, находящихся в главной зоне нефтеобразования.

Геохимическая и петрографическая характеристики ОВ соответствуют условиям его формирования, т.е. седиментация осадков Керченско-Таманского прогиба протекала в окраинной части майкопского бассейна, ОВ которого сформировалось при значительном участии высшей растительности. Большая часть разреза майкопских пород прогиба является газоматеринской; нефтематеринский потенциал относительно выше в нижнемайкопских отложениях.

cene — miocene inferieur) de la Crimée a l'Azerbaigjan. UPVC Paris, 1998.

3. Wilkin R.T., Barnes H.L., Brantly S.L. The size of frambooidal pyrite in modern sediments: An indicator of redox conditions // Geochem. Acta. 1996. Vol. 60. N 20. P. 3397—3912.